

05,10

©1994 г.

## НЕРАЗРУШАЮЩИЙ МЕТОД ЗОНДИРОВАНИЯ ЭЛЕКТРИЧЕСКОГО ПОЛЯ В ТВЕРДЫХ ДИЭЛЕКТРИКАХ ЗАРЯЖЕННЫМИ ЧАСТИЦАМИ

*С.Г.Боеев, В.А.Падерин, А.Н.Кузьмин, С.А.Лопаткин, В.Я.Ушаков*

Разработан новый неразрушающий метод зондирования электрического поля в твердых плоскопараллельных диэлектриках заряженными частицами, основанный на влиянии электрического поля диэлектрика на токи, протекающие в его объеме при облучении потоком заряженных частиц с регулируемым пробегом. Чувствительность метода возрастает с увеличением массы частиц, а для протонов составляет порядка  $10^3$  В/см. Разрешающая способность метода составляет менее микрометра, относительная погрешность — менее 10%.

Рассматривается заряженный каким-либо способом (исследуемый) плоскопараллельный образец толщиной  $h$  с удельной объемной электрической проводимостью материала ниже  $10^{-12}$  См/м, в котором в течение нескольких секунд (время зондирования) релаксация объемного заряда незначительна.  $E(x)$  — распределение напряженности электрического поля по толщине образца в момент начала зондирования. При зондировании образец облучается заряженными частицами (протоны, дейтроны,  $\alpha$ -частицы и др.) с плотностью тока  $j_0$  и регулируемым дискретно или непрерывно пробегом. В процессе облучения регистрируется потенциал  $U$  на измерительном электроде (рис. 1). Прозрачный для частиц электрод на обращенной к источнику излучения поверхности (нанесенный термическим или катодным распылением металла) заземлен.

Диффузионный и инжекционный токи в облучаемых заряженными частицами диэлектриках незначительны по сравнению с током проводимости [1]. При этом плотность тока в образце определяется выражением

$$j(x, t) = j_0(x) + \gamma(x, t)E(x, t) + \varepsilon_0\varepsilon\partial E(x, t)/\partial t, \quad (1)$$

где  $\gamma$  — удельная объемная электрическая проводимость материала в условиях облучения,  $\varepsilon_0$  — электрическая постоянная,  $\varepsilon$  — относительная диэлектрическая проницаемость вещества.

Облучаемый диэлектрик можно рассматривать как двухслойный [2-4]. В области  $0 < x < r$  стимулированная излучением проводимость

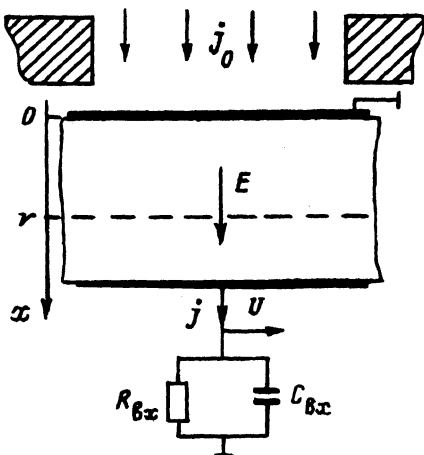


Рис. 1. Схема зондирования электрического поля в диэлектрике.

на несколько порядков выше, чем в области  $r < x < h$  (определение  $r$  рассматривается в работах [3,4]). Соответственно в области  $r < x < h$  ток проводимости пренебрежимо мал по сравнению с абсорбционным током. При этом интегрирование (1) по  $x$  от 0 до  $h$  дает выражение для плотности полного тока в диэлектрике

$$j(r, t) = \kappa(r) + \int_0^r \gamma(r, x, t) E(x, t) dx / h - \frac{\epsilon_0 \epsilon}{h} \frac{dU(r, t)}{dt}, \quad (2)$$

где  $\kappa = \bar{\eta} j_0 / h$ ,  $\bar{\eta}$  — центроид инжектируемого облучением заряда.

Параметр  $r$  в  $\kappa(r)$ ,  $\gamma(r, x, t)$  и  $U(r, t)$  указывает на зависимость этих характеристик от  $r$ .

С учетом входных сопротивления и емкости регистрирующей аппаратуры

$$j(r, t) = \frac{U(r, t)}{R_{\text{вх}} \cdot S} + \frac{C_{\text{вх}}}{S} \frac{dU(r, t)}{dt}, \quad (3)$$

где  $S$  — площадь коллиматора потока частиц.

Из (2), (3) имеем

$$\kappa(r) + \int_0^r \gamma(r, x, t) E(x, t) dx / h = \frac{C_0 + C_{\text{вх}}}{S} \frac{dU(r, t)}{dt} + \frac{U(r, t)}{S R_{\text{вх}}}, \quad (4)$$

где  $C_0 = \epsilon_0 \epsilon S / h$  — геометрическая емкость образца.

При малых значениях  $C_{\text{вх}}$  первый член в правой части уравнения (4) много меньше второго, а величина  $U(r, t) / S R_{\text{вх}}$  соответствует  $j(r, t)$ . Если для максимальных значений  $\gamma$  справедливо соотношение  $t_u \ll \epsilon_0 \epsilon / \gamma$ , где  $t_u$  — время измерения  $j$ , то изменением  $E$  за время  $t_u$  можно пренебречь ( $\epsilon_0 \epsilon / \gamma$  — максвелловское время релаксации  $E$ ). Тогда

$$j(r, t) = \kappa(r) + \int_0^r \gamma(r, x, t) E(x) dx / h, \quad t < t_u, \quad (5)$$

т.е. измеряемая плотность тока и напряженность электрического поля в диэлектрике связаны интегральным уравнением Вольтерры первого рода. Ядро уравнения можно найти, измерив временную зависимость  $\gamma$  в различных слоях образца [5], а также по результатам измерения плотности тока  $j^r$  в образце, к которому приложено напряжение  $V^r$ ,

$$j^r(r, t) = \kappa(r) + V^r \int_0^r \gamma(r, x, t) dx / h^2. \quad (6)$$

Условия измерения  $j$  и  $j^r$  должны быть идентичными, т.е. должны быть идентичными значения  $j_0$ , закон изменения  $r$  и время измерения  $j$  и  $j^r$  для каждого  $r$ .

Для большинства диэлектриков при условии  $t_i \ll \varepsilon_0 \varepsilon / \gamma$  изменение  $\gamma$  со временем незначительно. При этом ядро можно определить непосредственно на исследуемом электризованном образце. Для этого после измерения  $j(r)$  к образцу прикладывается напряжение  $V$  и регистрируется плотность тока  $j'(r)$

$$j'(r) = \kappa(r) + \int_0^r \gamma(r, x) [E(x) + V/h] dx / h.$$

С учетом (4) имеем

$$j'(r) - j(r) = V \int_0^r \gamma(r, x) dx / h^2.$$

Для высокоэнергетических легких ионов (с пробегом  $R$  более 4 мкм) качественное распределение мощности дозы излучения  $\Phi(z)$  ( $z = x/R$ ) практически не отличается в различных материалах [6,7], т.е. функция  $\Phi(z)/\Phi(0)$  является универсальной [4]. При этом, если изменение  $\gamma$  со временем незначительно, а увеличение  $r$  происходит с постоянной скоростью  $v$ , из (5) получим интегральное уравнение Вольтерры типа свертки, связывающее значения  $j$  и  $E$ ,

$$j(t) = \kappa(t) + v \int_0^t \gamma(t - \tau) E(\tau) d\tau / h, \quad (7)$$

где  $t = r/v$ ,  $\tau = x/v$ ,  $\kappa(t) = vtj_0/h$ .

Для практической реализации метода необходимо, чтобы функция  $\gamma(r, x, t)$  удовлетворяла условиям ядра Вольтерры: толщина переходного слоя между облучаемой и необлучаемой частями образца (в котором происходит уменьшение  $\gamma$  более чем на порядок) должна быть много меньше пробега частиц, и ошибка определения  $r$  незначительна. Рассмотрим возможности зондированная диэлектриков легкими ионами и электронами. При пробегах высокоэнергетических ионов в несколько микрометров их относительный разброс составляет менее 3%

и уменьшается с увеличением пробегов [6,7]. При этом функция  $\gamma$  достаточно хорошо удовлетворяет условиям ядра Вольтерры, а значение  $r$  можно определить по формуле  $r = R + 1.5\Delta R$ , где  $R$  — средний проектированный пробег ионов,  $\Delta R$  — страгглинг [6,7]. Распределение низкоэнергетических ионов и мощности дозы описывается распределением Пирсона IV типа [8]. При отрицательных значениях "скошенности" (степени асимметрии распределения Пирсона) функции  $\Phi$   $\gamma$  удовлетворяет условиям ядра Вольтерры даже в диэлектрических слоях толщиной менее микрометра. В случае облучения диэлектриков высокоэнергетическими электронами с пробегом в сотни микрон граница между облучаемой и необлучаемой областями размыта. Кроме того, электрическое поле диэлектрика заметно влияет на пробег электронов [9]. Поэтому высокоэнергетические электроны непригодны для реализации рассматриваемого метода. Диэлектрические слои толщиной до 20–30 мкм можно зондировать низкоэнергетическими электронами аналогично работам [3,10] при разрушающем зондировании электрического поля. Однако при этом относительная ошибка определения  $r$  составляет не менее 5%.

Поскольку ядро и измеряемый сигнал, а также их первая и вторая производные являются гладкими функциями, то решения уравнений (5) и (7) являются достаточно устойчивыми. Для повышения точности расчетов могут использоваться возможности зондирования диэлектрика с различных сторон и с различным шагом изменения  $r$ .

Чувствительность метода определяется соотношением первого и второго членов в правой части уравнений (5), (7). Пусть измерительный прибор с заданной точностью позволяет регистрировать электрические токи, отличающиеся по величине на 10%, т.е. надежно регистрируется электрический ток, отличающийся на 10% от  $\kappa$ . При незначительном изменении  $\gamma$  со временем из уравнения (5) следует, что минимальное среднее значение напряженности электрического поля в области  $0 < x < r$  определяется из условия

$$\bar{E}_{\min}(r) = 0.1\bar{\eta}j_0 / \int_0^r \gamma(r, x) dx.$$

При заданном значении  $j_0$  чувствительность метода зависит от материала и отличается для различных частиц. В табл. 1 приведены результаты расчетов и экспериментальные значения  $\bar{E}_{\min}$  для монокристалла фтористого лития. В данном случае для определения  $\int_0^r \gamma(r, x) dx$  проводилось измерение  $\gamma(r, 0)$ , когда толщина образцов была много меньше пробега электронов с энергией в интервале значений 0.6–1.0 МэВ, протонами 6–10 МэВ и альфа-частицами 15–28 МэВ.

Функция  $\gamma(r, x)$  определялась из условия [11]

$$\frac{\gamma(r, x)}{\gamma(r, 0)} = \left[ \frac{\Phi(x)}{\Phi(0)} \right]^{\Delta},$$

где  $\Delta = 0.88$  [5].

Таблица 1. Значения  $\bar{E}_{\min}$  в В/см при зондировании LiF различными частицами,  $j_0 = 8 \cdot 10^{-10} \text{ A/cm}^2$

Частицы	Пробег, мкм					
	1	10	100	500	1000	5000
Электроны		400	1500	3400 (3620)	4300 (4450)	4400
${}_1^1\text{H}$	4.6	70 (90)	210 (250)	440 (520)	660	1300
${}_2^4\text{He}$	1.5	17 (25)	50 (60)	110	160	320

П р и м е ч а н и е. В скобках экспериментальные результаты.

Для электронов с пробегом 1 и 10 мкм функция  $\Phi(x)$  точно неизвестна и величина  $\gamma$  считалась постоянной в облучаемой части образца.

Чувствительность метода при облучении образцов протонами значительно выше, чем при электронном облучении (табл. 1). Увеличение чувствительности с увеличением массы ионов обусловлено увеличением удельных ионизационных потерь энергии и  $\gamma$ . При облучении образца LiF ионами  ${}_6^{14}\text{C}$  с энергией 12 МэВ, когда  $R \sim 10$  мкм, чувствительность метода примерно в 20 раз больше, чем при облучении протонами. При увеличении  $j_0$  чувствительность метода падает. Однако это уменьшение незначительно (табл. 2), так как  $\gamma$  является степенной функцией  $j_0$ , а показатель степенной функции для большинства диэлектриков находится в пределах значений 0.8–1.0 [11].

Разрешающая способность метода зависит от возможность дискретизации пробега частиц и точности определения  $r$ . Для случая облучения диэлектриков легкими ионами разрешающая способность составляет менее микрометра.

Устройство реализации метода, позволяющее изменять пробеги ионов и автоматически регистрировать токи в образцах, описано в нашей работе [3]. Проверка метода производилась при зондировании образцов монокристалла LiF, керамики МК (99.3%  $\text{Al}_2\text{O}_3$ ), керамики СНП ( $\text{SiO}_2$  — 53.0%,  $\text{MgO}$  — 27%,  $\text{BaO}$  — 11.4%,  $\text{ZnO}$  — 5.4%), полиметилметакрилата и алюмофосфатного стекла САФ ( $\text{Al}_2\text{O}_3$  — 75%,  $\text{P}_2\text{O}_5$  — 25%) с приложенным от внешнего источника напряжением. Образцы зондировались протонами, ионами  ${}_2^3\text{He}$  (LiF, МК),  $\alpha$ -частицами (LiF,

Таблица 2. Значения  $\bar{E}_{\min}$  в В/см для некоторых диэлектриков при зондировании их протонами с энергией 1 МэВ и указанными  $j_0$  (экспериментальные результаты)

Материал	$j_0, \text{ A/m}^2$		
	$1 \cdot 10^{-5}$	$1 \cdot 10^{-4}$	$1 \cdot 10^{-3}$
LiF	95	140	210
$\Gamma\text{Б}=7$	240	290	360
MgO	26	26	26
ПММА	530	780	1160

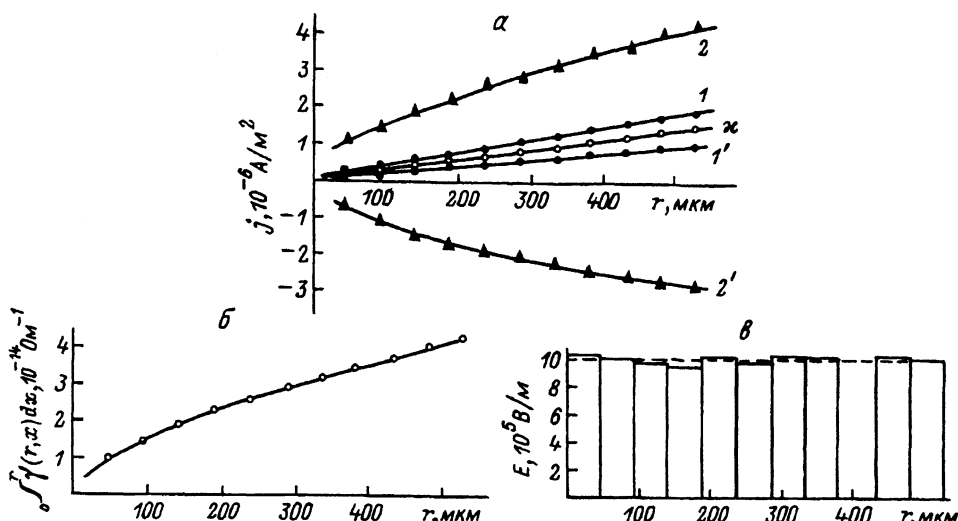


Рис. 2. Зондирование электрического поля в образце LiF, заданного от внешнего источника.

$h=10$  мм,  $j_0 = 3 \cdot 10^{-6}$  А/м<sup>2</sup>; а: 1, 1' — значения плотностей токов в образце при  $V/h = 10^5$  В/м; 2, 2' —  $V/h = 10^6$  В/м; 1, 2 — направление вектора напряженности электрического поля совпадает с направлением оси  $x$ ; 1', 2' — противоположно; б —  $\int_0^r \gamma(r, x) dx = (j^r - x) h^2 / V^r$ ,  $V^r = 10^6$  В/м; в — гистограмма напряженности электрического поля, полученная из решения уравнения (5) при  $E = 10^6$  В/м с использованием результатов измерения  $x$  и  $\int_0^r \gamma(r, x) dx$  на рис. 2, а, б; пунктир — заданные значения.

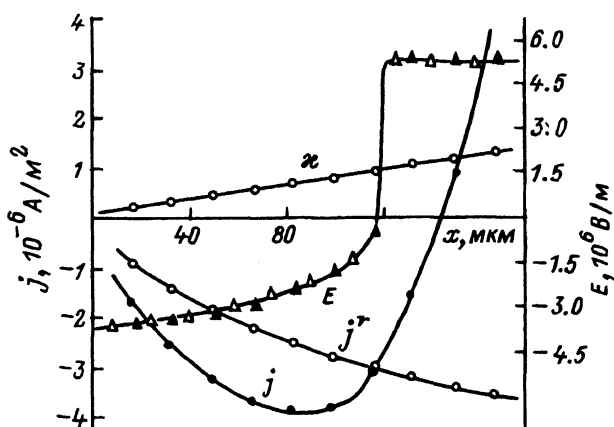


Рис. 3. Результаты зондирования образца керамики СНЦ ионами  $^{3}_2\text{He}$  через 4 ч после облучения в течение 1 мин протонами с энергией 4.2 МэВ и плотностью тока  $2.5 \cdot 10^{-4}$  А/м<sup>2</sup>.

$h=180$  мкм;  $\Delta$  — значения  $E$ , полученные рассматриваемым методом;  $\blacktriangle$  — описанным в работе [3] методом.

САФ, СНЦ). Результаты определения  $E$  отличаются от заданных от внешнего источника значений менее чем на 10%. Результаты зондирования образца LiF протонами показаны на рис. 2. Экспериментальные точки на кривых приведены при значениях  $r$ , которые соответствуют пробегу протонов в образце, предварительно прошедших мишень из набора алюминиевых фольг толщиной по 50 мкм. Увеличение  $r$  обеспечивалось последовательным уменьшением толщины поглотителя на 50 мкм. Изменение  $\gamma$  со временем в процессе облучения LiF незначительно. Изменение  $\gamma$  с координатой определялось по результатам измерения  $j^r$  в образцах с приложенным к ним напряжением  $V^r$  (рис. 2,б). Результаты численного расчета  $E$  по формуле (5) (рис. 2,в) отличаются от заданных от внешнего источника значений  $E$  ( $E = V/h$ ) менее чем на 5%.

Пример использования метода показан на рис. 3. Образец электротехнической керамики СНЦ электризовался облучением протонами, затем зондировался ионами  $^{3}_2\text{He}$ . Пробег ионов  $^{3}_2\text{He}$  в образце дискретно увеличивался при уменьшении толщины поглотителя из алюминия на 24 мкм. При последовательном зондировании образцов 7 раз результаты измерений отличались в пределах 3%. Результаты определения  $E$  описанным в работе [3] разрушающим методом отличаются от полученных предложенным методом менее чем на 10% (рис. 3).

### Список литературы

- [1] Электреты / Под ред. Г.Сесслера. М.: Мир, 1983. 487 с.
- [2] Gross B., Sessler G.M., West J.E. // J. Appl. Phys. 1974. Vol. 45. N 7. P. 2841–2851.
- [3] Боеев С.Г., Падерин В.А. // ПТЭ. 1987. № 5. С. 191–194.
- [4] Боеев С.Г., Падерин В.А. // Изв. вузов. Физика. 1987. № 5. С. 75–79.
- [5] Боеев С.Г. // Изв. вузов. Физика. 1981. № 2. С. 49–57.
- [6] Калашников Н.П., Ремизович В.С., Рязанов М.И. Столкновения быстрых заряженных частиц в твердых телах. М.: Атомиздат, 1980. 272 с.
- [7] Janni J.E. // Atomic Data and Nuclear Date Tables. 1982. Vol. 27. N 2/3.
- [8] Комаров Ф.Ф., Кумахов М.А., Темкин М.М., Буренков А.Ф. Пространственные распределения энергии, выделенной в каскаде атомных столкновений в твердых телах. М.: Энергоатомиздат, 1985.
- [9] Gross B., Nablo S.V. // J. Appl. Phys. 1967. Vol. 38. N 5. P. 2272–2275.
- [10] Sessler G.M., West J.E., Seggern H. // J. Appl. Phys. 1982. Vol. 53. N 6. P. 4320–4327.
- [11] Тютнин А.П., Ваников А.В., Мингалеев Г.С., Саенко В.С. Электрические явления при облучении полимеров. М.: Энергоатомиздат, 1985. 176 с.

Научно-исследовательский институт  
высоких напряжений при Томском  
политехническом институте им. С.М. Кирова

Поступило в Редакцию  
3 января 1990 г.  
В окончательной редакции  
28 октября 1993 г.